

Ба 125511

МИНИСТЕРСТВО ВЫСШЕГО И СРЕДНЕГО СПЕЦИАЛЬНОГО
ОБРАЗОВАНИЯ БССР
БЕЛОРУССКИЙ ОРДЕНА ТРУДОВОГО КРАСНОГО ЗНАМЕНИ
ГОСУДАРСТВЕННЫЙ УНИВЕРСИТЕТ им. В. И. ЛЕНИНА

Минск - 1978

ОПРЕДЕЛЕНИЕ МИКРОПРИМЕСЕЙ В ЧАСТЫХ ЦИРОГРАФИТЕ
И ВЕТРИДЕ БОРА МЕТОДАМИ НЕЙТРОННОЙ АКТИВАЦИИ

А в т о р е ф е р а т

диссертации на соискание ученой степени
кандидата физико-математических наук

(01.04.16 - физика атомного ядра и
космических лучей)

Бел. 2005

Минск - 1978 г.

Ба 125 511

МИНИСТЕРСТВО ВЫСШЕГО И СРЕДНЕГО СПЕЦИАЛЬНОГО
ОБРАЗОВАНИЯ БССР
БЕЛОРУССКИЙ ОРДЕНА ТРУДОВОГО КРАСНОГО ЗНАМЕНИ
ГОСУДАРСТВЕННЫЙ УНИВЕРСИТЕТ им. В. И. ЛЕНИНА

Мурзида Гараевна ВАЛИЕВА

ОПРЕДЕЛЕНИЕ МИКРОПРИМЕСЕЙ В ЧИСТЫХ ПИРОГРАФИТЕ
И НИТРИДЕ БОРА МЕТОДАМИ НЕЙТРОННОЙ АКТИВАЦИИ

А в т о р е ф е р а т

диссертации на соискание ученой степени
кандидата физико-математических наук

(01.04.16 - физика атомного ядра и
космических лучей)

Бел. 2005

Работа выполнена в лаборатории активационного анализа
чистых и сверхчистых материалов Института ядерной физики
АН УССР

Научный руководитель - член корреспондент АН БССР,
доктор физико-математических наук,
профессор Е.М.ЛОБАНОВ.

Официальные оппоненты:

1. Доктор физико-математических наук,
профессор И.У.ЛЕМБИРТ
(Ленинградский ордена Ленина физико-технический
институт им. А.Ф.Иоффе АН СССР)

2. Кандидат физико-математических наук Э.А.РУДАК
(Институт физики АН БССР)

Выдающее научно-исследовательское учреждение - Институт
физики Академии наук Латвийской ССР

Автореферат составлен " " _____ 1978г

Защита диссертации состоится " " 1978г. в 10 часов
на заседании Совета по присуждению ученых степеней по физико-
математическим наукам (физика) Белорусского Государственного
ордена Трудового Красного Знамени университета им.В.И.Ленина
(г.Минск, Главный корпус, комн.206).

О диссертацией можно ознакомиться в библиотеке Белгос-
университета им.В.И.Ленина).

Ваше мнение и замечания на автореферат просим присылать
по адресу: г.Минск, 220080, Университетский городок, Белгос-
университет.

Ученый секретарь Совета-

М.П.ХАЛИМАНОВИЧ

ВВЕДЕНИЕ

Широкая область применения чистых материалов во многих отраслях науки и техники накладывает весьма жесткие требования на степень их чистоты. Содержание примесей в некоторых случаях должно быть доведено до $10^{-10}\%$ и меньше.

Каждый из используемых методов анализа контроля чистоты материалов обладает своими преимуществами и недостатками. Все они, получая дальнейшее развитие, дополняют друг друга. Нейтронно-активационный анализ является одним из наиболее быстро совершенствующихся аналитических методов в наши дни. Преимуществом в его применении к контролю чистых материалов является возможность осуществления группового инструментального анализа, что весьма важно, так как ряд веществ чрезвычайно устойчив к воздействию химических реагентов. К таким веществам относятся, например, пирографит и нитрид бора, область применения которых широка и разнообразна.

Представленная работа имела целью разработать инструментальные нейтронно-активационные методики анализа примесей в этих материалах с учетом их специфических особенностей, с привлечением временной спектрометрии для идентификации радиоизотопов, с разработкой математических приемов учета конкурирующих реакций и расшифровки многокомпонентных кривых спада активности.

1. СПЕЦИФИКА НЕЙТРОННО-АКТИВАЦИОННОГО АНАЛИЗА ПИРОГРАФИТА И НИТРИДА БОРА. ЭФФЕКТ САМОЭК- РАНИРОВАНИЯ НЕЙТРОНОВ В НИТРИДЕ БОРА

Кроме общих источников погрешностей, характерных для нейтронно-активационного анализа, необходимо учесть и сугубо специфичные источники, связанные с элементарным составом анализируемых матриц.

Известно, что графит термализует нейтронный поток. Для

Изучения необходимости учета термализации нейтронного потока в пирографите был проведен эксперимент, который показал, что этот эффект можно пренебречь.

В состав нитрида бора входит до 43,6% бора, а последний является сильным поглотителем тепловых нейтронов и вызывает эффект самоэкранирования, что служит причиной неравномерной активации примесей в образцах нитрида бора. Наличие самоэкранирования приводит к необходимости раздельного облучения образцов и эталонов, так как в эталонах из-за соседства с экранной матрицей наводится меньшая активность. При одновременном же облучении образцов и эталонов может возникнуть неточность в анализе, если поток нейтронов не остается постоянным. С целью выявления величины погрешности, вносимой из-за непостоянства потока, было приготовлено 50 одинаковых эталонов дитрия, которые затем последовательно облучались в течение семи часов в тепловом канале реактора ВВР-С ИЯФ АН УзССР. Как доказал эксперимент, наблюдается колебание нейтронного потока. Общий размах варьирования доходит до 30%, поэтому при раздельном облучении необходимо присутствие "свидетелей" потока.

Для изучения ослабления нейтронного потока в нитриде бора был проведен эксперимент, совершенно аналогичный изучению эффекта термализации в сферическом образце пирографита. Экспериментальная кривая изменения удельной активности по диаметру образца показывает, что основной градиент уменьшения потока приходится на слой шириной 2-3 мм, остальные слои образца действуют слабо.

Визуальным проявлением эффекта самоэкранирования является и "цветовой" эффект. При облучении образца нитрида бора наблюдается изменение цвета. С увеличением дозы нейтронов цвет меняется от розового до темно-коричневого. В сферическом образце нитрида бора интенсивность окрашивания спадает от периферии к центру, причем более резко в наружных слоях.

Наличие эффекта самоэкранирования можно установить и по зависимости удельной активности примеси от веса образца. С этой целью из порошкообразного нитрида бора, в который было внесено

и равномерно распределено известное количество скандия, были приготовлены и облучены сферические образцы разного диаметра со средней плотностью $1,1 \text{ г/см}^3$. После длительного "охлаждения" измерялась активность радионуклеида ^{45}Sc и строился график зависимости удельной активности от веса образца. Наблюдается экспоненциальный характер зависимости.

Эффект самоэкранирования в образцах нитрида бора является причиной возникновения систематической ошибки, вследствие чего процентное содержание примеси в пробах отклоняется от истинного содержания в сторону занижения. Для установления систематической ошибки использован метод регрессионного анализа. Графическая и математическая проверка этим методом показала, что в образцах нитрида бора из-за эффекта самоэкранирования полагается линейно изменяющаяся систематическая ошибка.

Для учета самоэкранирования экспериментально определялись поправочные коэффициенты методом добавок. В порошкообразный нитрид бора вводилось и равномерно распределялось известное небольшое количество определяемого элемента в виде раствора. Готовились контрольные образцы нитрида бора без примеси для учета активности основы и такие же образцы с внесенной примесью. Образцам придавалась форма сферы или цилиндра. Соблюдались идентичными размеры, плотность, вес образцов, режим облучения и условия измерения активностей образцов и эталонов.

Истинная активность внесенной примеси подсчитывается, исходя из удельной эталонной активности $A_{\text{эт}}$ и известного количества "добавки" m_d

$$A(\text{ист.}) = m_d \cdot A_{\text{эт}} \quad /1/$$

Частное от деления истинной активности на величину измеренной дает поправочный коэффициент K

$$K = \frac{A(\text{ист.})}{A(\text{изм.})} \quad /2/$$

Эти коэффициенты относятся к вполне конкретным образцам определенной формы, размеров, плотности.

Методом добавок были определены поправочные коэффициенты самоэкранирования в нитриде бора для ряда элементов. Образец была придана форма цилиндра размерами: $D=6$ мм, $h=30$ мм и $\rho=1,1$ г/см³. Облучение проводилось тепловыми нейтронами и нейтронами спектра деления. Данные сведены в таблицу I. Вычисленное на основании активностей изотопов в образце и эталоне содержание примесей умножается на свой соответствующий поправочный коэффициент. Относительная погрешность поправочных коэффициентов ~10%.

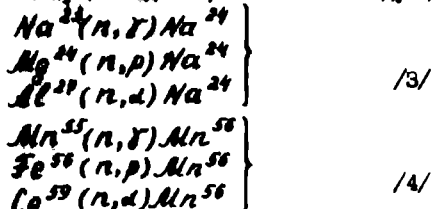
Кроме этого метода учета самопоглощения, мы прибегали также к облучению образцов в эталонах в борных и кадмиевых фильтрах. Метод фильтров особенно удобен для определения элементов, для которых борные и кадмиевые отношения малы.

II. МЕТОД ЧЕРЕДУЮЩИХСЯ РЕЖИМОВ ОБЛУЧЕНИЯ ДЛЯ УЧЕТА ВКЛАДА КОНКУРИРУЮЩИХ РЕАКЦИЙ

При изучении возможных ошибок и погрешностей активационного анализа одно из первых мест отводится различного вида ядерным метаморфозам.

В процессе облучения нейтронами реактора наряду с реакциями радиационного захвата (n, γ) протекают и другие реакции, например, (n, α) , (n, p) , (n, d) , реакции на осколках деления (n, f) . Все эти реакции могут привести к образованию аналитического редкоизотопа.

Анализируя образцы пирографита и нитрида бора, мы столкнулись с трудными конкурирующими реакциями на ядрах типа A^A , A^{A+1} , A^{A+2} . К числу этих реакций, часто встречающихся в матрицах различного происхождения, относятся следующие:



Таблица

коэффициенты самозакрепления для некоторых элементов, полученные
облучением цилиндрических образцов внутринабора с плотностью)

$$\rho = 1,1 \text{ г/см}^3, \quad D = 6 \text{ мм}, \quad h = 30 \text{ мм}$$

Элемент	Улучшение нейтронами										Улучшение деутронными спектрами												
	Na	Al	Ca	Mn	W	Na	As	Bz	Sb	W	Au	Na	Al	Ca	Mn	W	Na	As	Bz	Sb	W	Au	
$\bar{K}_{экс}$	13,9	11,0	8,8	10,9	9,1	12,8	1,9	2,8	3,6	4,1	3,7												
S	1,28	0,97	0,92	1,07	0,90	1,15	0,21	0,30	0,41	0,38	0,33												
V	9,2	9,7	10,5	9,8	9,9	9,0	11,2	10,8	11,5	9,3	9,0												
$\Delta \bar{I}$	1,085	0,898	0,852	0,991	0,833	1,058	0,193	0,276	0,377	0,350	0,304												

$\bar{K}_{экс}$ - среднее значение поправочного коэффициента

S - средняя квадратичная ошибка

V - коэффициент вариации

$\Delta \bar{I}$ - доверительный материал / $P=0,95$; $f=30$

$$\left. \begin{aligned} \rho^{31}(n, \gamma) \rho^{32} \\ g^{32}(n, \rho) \rho^{32} \\ c^{32}(n, d) \rho^{32} \end{aligned} \right\} /5/$$

Для количественного расчленения суммарной активности, наведенной от трех ядер-конкурентов, нами использован экспериментальный метод чередующихся режимов облучения с последующей математической обработкой. В основу метода положено различие в нейтронном спектре в отдельных зонах реактора и применение сильно поглощающих телловыми нейтронами материалов.

При наличии возможности осуществления облучений, дающих не идентичное проределение каждой из составляющих, суммарную активность можно расчленить на компоненты путем решения следующих систем линейных уравнений:

$$A_j = \sum_{i=1}^3 d_{ij} A_i \quad j=1,2,3 \quad /6/$$

Индекс "j" соответствует режиму облучения, а i - компоненте. d_{ij} - обратные значения коэффициентов перехода от одного режима облучения к другому.

В условиях самоскривирования эта система имеет вид:

$$A_j = \sum d_{ij} \beta_{ij} A_i \quad j=1,2,3 \quad /7/$$

где коэффициенты " β_{ij} " соответствуют обратному значению коэффициентов самоскривирования данной компоненты в заданном режиме облучения.

Расшифровка по этим системам требует строгого соблюдения подобия условий облучения в различных режимах, условий последующих измерений наведенных активностей, введения поправок на распад, применения свидетелей потока и т.д.

Если не за известное принимать непосредственно искомые количества аналитической компоненты M_i , а за опорные параметры - значения эталонной удельной наведенной активности каждой компоненты в данных условиях облучения - C_{ij} , то требования

строгой идентичности в облучениях и измерениях отпадают. В этом случае система примет вид:

$$A_j = \sum_{i=1}^3 C_{ij} m_i \quad j=1,2,3 \quad /8/$$

В условиях самоэкранирования:

$$A_j = \sum_{i=1}^3 C_{ij} \theta_{ij} m_i \quad j=1,2,3 \quad /9/$$

Если возможность определения одной из компонент по параллельной реакции есть, то расчеты упрощаются. Пусть К-компонента определяется путем сравнения активности эталона и образца:

$$m_K = \frac{m_{ЭТ} A_K}{A_{ЭТ}} = \frac{A_K}{C_K} \quad /10/$$

$$\frac{A_{ЭТ}}{m_{ЭТ}} = C_K \quad - \text{удельная эталонная активность К-изотопа.}$$

Тогда вместо системы /8/ имеем систему из двух уравнений:

$$A_j = \sum_{i=1}^2 C_{ij} m_i + \frac{A_K}{C_K} C_{3j} \quad /11/$$

или:

$$A_j' = \sum_{i=1}^2 C_{ij} m_i \quad j=1,2 \quad /12/$$

где:

$$A_j' = A_j - \frac{A_K}{C_K} C_{3j} \quad /13/$$

причем, C_{3j} находится облучением эталонов третьей компоненты в обоих режимах j .

Для матриц, вызывающих эффект самоэкранирования, система /11/ имеет вид:

$$A_j = \sum_{i=1}^2 b_{ij} m_i + \frac{A_K}{C_K} b_{3j} \quad /14/$$

где

$$\left. \begin{aligned} b_{ij} &= p_{ij} c_{ij} \\ b_{ji} &= p_{ji} c_{ji} \end{aligned} \right\} /15/$$

b_{ij} - обратные значения коэффициентов самоэкранирования в обоих режимах j .

В анализируемых матрицах каждая из троек элементов может присутствовать в самых различных количественных соотношениях ее компонент. Поэтому необходимо установить, при каких количественных соотношениях составляющих необходим учет их вкладов и когда ими можно пренебречь. Эти данные были проверены для двух троек, приводящих к образованию радиоизотопов Mg^{24} и P^{32} . Были приготовлены и проверены на чистоту от соседних примесей химикатов эталоны этих элементов и облучены в трех режимах - в зоне реактора, в условиях фильтрации кадмием или бором, в тепловой колонне. Режим облучения и геометрия измерения поддерживались одинаковыми. Одновременно были измерены и сравнены кадмиевые и борные отношения ряда элементов. Результаты приведены в таблице 2.

Как видно из таблицы 2, борная фильтрация в ряде случаев оказывает более существенное подавляющее действие, чем кадмиевая. Это обстоятельство может быть использовано для улучшения селективности нейтронно-активационного определения некоторых элементов, когда фон мешающих радиоизотопов может быть значительно понижен борной фильтрацией.

В разных режимах облучения были установлены концентрационные соотношения ядер-конкурентов для получения одинаковой активности. Если принять активность, наведенную по реакции n, γ , за основную, а вклад от активностей, наведенных по конкурирующим реакциям, равным 10%, то концентрационные соотношения, при которых необходим учет конкурирующих вкладов, получаются следующими /таблица 3/.

Рассмотренные приемы расфировки трехкомпонентной активности были использованы при определении натрия, магния и алюминия в пирографите и нитриде бора.

Таблица 2

Кадмиевые и борные отношения некоторых элементов, измеренные в экспериментальных каналах реактора ВВР-С ИЯФ АН УзССР

Элемент	Радио-изотоп	$R(Cd)$	$R(B)$	Б канала	$R(B)/R(Cd)$
Натрий	Na^{24}	40	84	6	2,1
Натрий	Na^{24}	41	66	8	1,6
Фосфор	P^{32}	37,5	50,4	6	1,3
Хлор	Cl^{38}	20,7	36,5	6	1,8
Скандий	Sc^{46}	60	116	8	1,9
Марганец	Mn^{56}	16,5	33	6	2,0
Железо	Fe^{59}	33	51	8	1,5
Медь	Cu^{64}	14,8	22,4	6	1,5
Цинк	Zn^{69m}	8,1	7,5	6	0,9
Галлий	Ga^{72}	5,2	5,1	6	~1,0
Индий	As^{76}	1,6	1,6	6	1,0
Бром	Br^{82}	2,9	3,0	8	~1,0
Молибден	Mo^{99}	1,5	1,4	6	0,9
Молибден	Mo^{99}	1,7	1,6	8	0,9
Кадмий	Cd^{115}	2,6	1,4	8	0,5
Олово	Sn^{117m}	1,4	1,2	8	0,9
Сурьма	Sb^{122}	2,0	3,2	8	1,6
Лантан	La^{140}	21	31	8	1,5
Вольфрам	W^{187}	4,7	4,5	8	~1,0
Золото	Au^{198}	3,9	4,2	8	~1,1

Таблица 3

Граничные концентрационные соотношения при десятипроцентном вкладе конкурирующей активности

Режим облучения	В основные соотношения			
	$Na : Mg : Al$		$P : S : Cl$	
Зона	I : 196 : 370		I : 0,83 : 2,7	
Cd -фильтр	I	6,1 10,0	I	0,026: 0,08
B -фильтр	I	3,0 5,0	I	0,02 0,06
Тепловая колонна	I	: 950 2100	I	: 3,53 7,5

III. АКТИВАЦИОННЫЙ АНАЛИЗ ПРИМЕСЕЙ В ПИРОГРАФИТЕ МЕТОДОМ МКСЕК-НСЕК ЗАДЕРЖКИ СОВПАДАЮЩИХ ИЗ- ЛУЧЕНИЙ

Аппаратура для нейтронно-активационного определения примесей в пирографите и нитриде бора - это сцинтилляционный γ -спектрометр, в детекторе которого используется кристалл $NaJ(Tl)$ размерами 40x50 мм и фотомножитель ФЭУ-13.

При анализе примесей в пирографите применялась также аппаратура по задержанным совпадениям, основанная на использовании, кроме характеристических β - или γ -излучений радиоизотопов, еще и определенных значений времен жизни возбужденных уровней ядер. Известно, что возникшие возбужденные уровни ядер распадаются по экспоненциальному закону. В данной работе используется обратная связь, т.е. по известной экспоненте уровня определяется ядро.

Анализирующая аппаратура задержанных совпадений состоит из двух частей:

- 1/ системы детектирования,
- 2/ системы анализа.

Для регистрации β -лучей применялись пластические сцинтилляторы размерами ϕ 30x1+2 мм, для γ -лучей - кристаллы стиббен ϕ 30x15+30 мм и $NaJ(Tl)\phi$ 30+40x15+40 мм. В спектрометрическом γ -детекторе постоянно использовался кристалл $NaJ(Tl)\phi$ 40x50 мм. Вместо ФЭУ-13 в этой аппаратуре применены ФЭУ-36, так как они обладают хорошими временными характеристиками и большим коэффициентом усиления.

Система анализа разработана в двух вариантах:

- 1/ микросекундная анализирующая система,
- 2/ наносекундная анализирующая система.

Разрешающее время микросекундной аппаратуры $2\tau = 1,0$ мсек, наносекундной - $2\tau = 1,2$ нсек.

В отличие от схем совпадений в этой аппаратуре отбор производится по трем параметрам:

- 1/ отбор по энергиям совпадающих β - или γ -излучений,
- 2/ отбор регистрируемых многоканальным анализатором γ -лучей,

3/ отбор задержанных по времени совпадающих излучений.

Возможность тройного отбора достаточно полно характеризует анализируемый радиоизотоп, поэтому часто отпадает необходимость определять четвертый параметр - период полураспада радиоизотопа, что сокращает время анализа. Чувствительность определения примесей этой аппаратурой в десять и более раз выше, чем в обычных схемах совпадений.

Конечным анализируемым элементом в методе мксек-нсек - задержки совпадающих излучений, так же как и в классической β -спектрометрии, является характеристический β -спектр изотопа. Но обычная β -спектрометрия дает спектр всех β -лучей, излучаемых при распаде радиоизотопа, а в этой аппаратуре анализируется лишь спектр тех β -лучей, которые испускаются в результате распада изомерного уровня ядра.

В работе приводится перечень элементов, которые можно анализировать с высокой чувствительностью новой аппаратурой. Путем использования этой аппаратуры в пирографите определены примеси лантана, неодима, тантала, арбиа, вольфрама. Ошибка определения находится в пределах $\pm 25\%$.

Наличие уровня 2083 кэВ у Ce^{140} /распад $L\alpha$ Ce^{140} / с $T_{1/2} = 3,4 \cdot 10^{-9}$ сек позволяет применить наносекундный вариант установки при анализах примеси лантана. Образец вместе с эталоном лантана облучался в течение 10 часов потоком нейтронов $1,8 \cdot 10^{13}$ н/см².сек. Для измерений использованы совпадения β -лучей /1380 кэВ + 1710 кэВ/ с β -лучами /486 кэВ + 1597 кэВ/. Продолжительность набора фотопика для образца 2 часа, для эталона - 10 минут.

При анализах примесей неодима и тантала использованы совпадения β /820 кэВ/-лучей с β /91 кэВ/-лучами в случае неодима и β /447 кэВ/-лучей с β /100 кэВ/-лучами - в случае тантала /распады: Nd^{147} и Ta^{182} - W^{182} /. Образец пирографита совместно с эталонами неодима и тантала облучался в течение 10 часов. Измерения проводились после длительного охлаждения. Так как обе примеси присутствуют одновременно, то настройка наносекундной аппаратуры производилась сразу на обе примеси.

Продолжительность набора фотопика для образца равнялась 3 часам, а для эталонов неодима и тантала - 20 минутам. Определение неодима велось путем сравнения рентгеновского пика 45 кэв с аналогичным пиком в эталоне неодима, а определение тантала проводилось по рентгеновскому пику 68 кэв.

Преимущество уровня 425 кэв у Tm^{171} /распад: $F_{\gamma}^{171} - Tm^{171}$ с $T_{1/2} = 2,6 \cdot 10^{-6}$ сек создает возможность применения микросекундного варианта установки при анализе примесей эрбия в пирографите. Образец с эталоном эрбия облучался в течение 10 часов и "охлаждался" 5 часов. Для измерений использовались совпадения β /1065 кэв/-лучей с γ /308 кэв, 117 кэв/-лучами. Обработка результатов проводилась по γ -пику 308 кэв. Время набора фотопика для образца равнялось двум часам, а для эталона - 5 минутам.

Для анализа вольфрама использованы совпадения γ /479 кэв/-лучей с γ /134 кэв, 72 кэв/-лучами /распад: $W^{187} - Re^{187}$. Пригодность метода обусловлена наличием уровня 206 кэв Re^{187} с $T_{1/2} = 5,3 \cdot 10^{-7}$ сек.

IV. РАСШИФРОВКА ДВУХ- И ТРЕХКОМПОНЕНТНЫХ КРИВЫХ СПАДА АКТИВНОСТИ. ОПРЕДЕЛЕНИЕ ПРИМЕСЕЙ В ПИРОГРАФИТЕ И НИТРИДЕ БОРА СЦИНТИЛЛЯЦИОННОЙ γ -СПЕКТРОМЕТРИЕЙ

Среди физических методов исследования излучений радиоактивных изотопов наиболее широкое применение находит сцинтилляционная гамма-спектрометрия. Идентификация анализируемого радиоизотопа производится по периоду полураспада, энергии гамма-излучения, интенсивности гамма-излучения.

Аналитические фотопики очень часто не являются одиночными, а принадлежат одновременно двум, трем и более изотопам. В работе рассматриваются возможности разложения неразрешенных двух- и трехкомпонентных кривых спада активности, основываясь на различия периодов полураспада составляющих и на решении системы уравнений.

Двухкомпонентная кривая спада активности в двух точках измерения $t = 0$ и t может быть описана следующей системой:

$$\left. \begin{aligned} \lambda_I &= \lambda_1 + \lambda_2 \\ \lambda_{II} &= \lambda_1 \alpha + \lambda_2 \beta \end{aligned} \right\} \quad /16/$$

где λ_1 и λ_2 - компоненты,

$$\left. \begin{aligned} \alpha &= \exp(-\lambda_1 t) \\ \beta &= \exp(-\lambda_2 t) \end{aligned} \right\} \quad /17/$$

Решения /16/ относительно компонент λ_1 и λ_2 имеют вид:

$$\lambda_1 = \frac{\lambda_I \beta - \lambda_{II}}{\beta - \alpha} \quad /18/$$

$$\lambda_2 = \frac{\lambda_I \alpha - \lambda_{II}}{\alpha - \beta} \quad /19/$$

Для трехкомпонентного фотопика в трех точках измерения $t_1 = 0$, t_2 , t_3 аналогично можно записать:

$$\left. \begin{aligned} \lambda_I &= \lambda_{01} + \lambda_{02} + \lambda_{03} \\ \lambda_{II} &= \lambda_{01} e^{-\lambda_1 t_2} + \lambda_{02} e^{-\lambda_2 t_2} + \lambda_{03} e^{-\lambda_3 t_2} \\ \lambda_{III} &= \lambda_{01} e^{-\lambda_1 t_3} + \lambda_{02} e^{-\lambda_2 t_3} + \lambda_{03} e^{-\lambda_3 t_3} \end{aligned} \right\} \quad /20/$$

Решения этой системы уравнений относительно компонент λ_{01} , λ_{02} , λ_{03} могут быть найдены путем использования выражений для основного и присоединенного определителей.

Описанные приемы расшифровки были использованы при обработке суммарного фотопика 0,84 Мэв облученного образца пирографита, принадлежащего одновременно трем изотопам: Mg^{27} , Mn^{56} и La^{140} .

Нейтронно-активационным анализом были определены примеси Ni , Mg , Al , Sc , V , Mn , Sb , La , Dy , Bi в пирографите и Na , Mg , Al , Ca , Mn , Ba , Ru , Sb , W и Li в нитриде бора.

Облучение образцов и соответствующих эталонов проводилось в каналах реактора ВВР-М ИЯФ АН УзССР потоками нейтронов спектра деления $1,8 \cdot 10^{13} \text{ н/см}^2 \cdot \text{сек}$ и потоком тепловых нейтронов $1,2 \cdot 10^{12} \text{ н/см}^2 \cdot \text{сек}$.

Таблица 4

Количественное содержание примесей в некоторых образцах
пирографита и нитрида бора

Элемент	Матрица	Содержание / $M \pm m / \%$
Натрий	Пирографит	$4,0 \pm 0,50 / \cdot 10^{-6}$
Натрий	Нитрид бора	$6,0 \pm 0,88 / \cdot 10^{-6}$
Магний	Пирографит	$5,4 \pm 0,74 / \cdot 10^{-3}$
Магний	Нитрид бора	$4,5 \pm 0,71 / \cdot 10^{-2}$
Алюминий	Пирографит	$6,0 \pm 0,63 / \cdot 10^{-5}$
Алюминий	Нитрид бора	$1,1 \pm 0,16 / \cdot 10^{-2}$
Кальций	Нитрид бора	$2,4 \pm 0,43 / \cdot 10^{-2}$
Скандий	Пирографит	$3,7 \pm 0,39 / \cdot 10^{-6}$
Ванадий	Пирографит	$0,9 \pm 0,08 / \cdot 10^{-5}$
Марганец	Пирографит	$1,9 \pm 0,19 / \cdot 10^{-6}$
Марганец	Нитрид бора	$1,0 \pm 0,17 / \cdot 10^{-4}$
Бром	Нитрид бора	$3,3 \pm 0,52 / \cdot 10^{-4}$
Рутений	Нитрид бора	$6,0 \pm 1,01 / \cdot 10^{-5}$
Сурьма	Пирографит	$4,0 \pm 0,46 / \cdot 10^{-6}$
Сурьма	Нитрид бора	$1,3 \pm 0,19 / \cdot 10^{-4}$
Лантан	Пирографит	$1,7 \pm 0,16 / \cdot 10^{-5}$
Лантан	Пирографит	$\approx 2,0 \pm 0,37 / \cdot 10^{-5}$
Неодим	Пирографит	$\approx 5,0 \pm 1,06 / \cdot 10^{-5}$
Диспровий	Пирографит	$1,0 \pm 0,08 / \cdot 10^{-6}$
Эрбий	Пирографит	$\approx < 1 \cdot 10^{-8}$
Тантал	Пирографит	$\approx 7,0 \pm 2,18 / \cdot 10^{-6}$
Вольфрам	Пирографит	$\approx 2,6 \pm 0,71 / \cdot 10^{-6}$
Вольфрам	Нитрид бора	$3,0 \pm 0,48 / \cdot 10^{-4}$
Золото	Пирографит	$3,7 \pm 0,35 / \cdot 10^{-7}$
Золото	Нитрид бора	$1,5 \pm 0,21 / \cdot 10^{-5}$

≈ - примеси определены методом задержанных совпадений

Методики для одинаковых примесей в пирографите и нитриде бора одни и те же, с той лишь разницей, что в случае нитрида бора производится раздельное облучение образцов и эталонов и вводится поправка на самоэкранирование. Некоторые результаты анализа образцов пирографита и нитрида бора приведены в таблице 4.

Ошибка определений для нитрида бора больше, а чувствительность хуже, чем для пирографита, причиной чего является самоэкранирование нитрида бора.

ВЫВОДЫ

1. Впервые применен метод задержанных $\beta - \gamma$ и гамма-гамма-совпадений для идентификация ядер в нейтронно-активационном анализе.

2. Разработаны новые методики активационного анализа примесей лантана, неодима, тантала, эрбия и вольфрама в пирографите с помощью аппаратуры нсек-миксек задержки совпадающих $\beta - \gamma$, гамма-гамма-излучений.

3. Составлена таблица элементов, определяемых с высокой чувствительностью методом нсек-миксек задержки совпадающих $\beta - \gamma$, гамма-гамма-излучений.

4. Исследованы возможные варианты расшифровки трехкомпонентных активностей, наведенных по конкурирующим реакциям $n, \gamma / n, p / n, \alpha /$ на ядрах типа A^n, A^{n+1}, A^{n+4} , методом чередующихся режимов облучения.

5. Подробно исследован эффект самоэкранирования тепловых нейтронов реактора нитридом бора и предложены экспериментальные поправочные коэффициенты для учета этого эффекта.

6. Изучен эффект термализации нейтронного потока в пирографите.

7. Изучены колебания нейтронного потока в экспериментальном канале реактора. Оценены возможные погрешности анализа без ввидетелей потока при раздельной активации образцов и эталонов.

8. Показаны преимущества борной фильтрации нейтронного потока перед кадмивой и измерены кадмиевые и борные отношения

для ряда элементов в экспериментальных каналах реактора ВВР-С ИЯФ АН УзССР.

9. Даны наиболее удобные для обсчета варианты расшифровки двух- и трехкомпонентных кривых спада активности.

10. Разработаны конкретные методики активационного определения примесей Na , Mg , Al , Sc , V , Mn , Sb , La , Lu , Am в пирографите и Al , Ca , Mg , Mn , Na , Br , Ru , Am , Sb , W в нитриде бора методом симультационной гамма-спектрометрии

Основные материалы диссертации изложены в следующих работах:

1. Е.М.Лобанов, М.Г.Валиева, М.М.Усманова, Л.В.Красивина. Определение примесей в нитриде бора нейтронно-активационным анализом. В сб. "Активационный анализ чистых материалов", "Фан", Ташкент, 1968.
2. Е.М.Лобанов, М.Г.Валиева, М.М.Усманова. Нейтронно-активационное определение примесей в особо чистых нитриде бора и нитриде алюминия. Тезисы докладов Второго Всесоюзного совещания по активационному анализу. Ташкент, 1968.
3. Н.А.Крыленкова, М.Г.Валиева, А.А.Кист, М.М.Усманова, Е.М.Лобанов. Некоторые приемы упрощенной интерпретации двухкомпонентных фотопиков. Известия АН УзССР, №5, 1969.
4. Е.М.Лобанов, М.Г.Валиева, М.М.Усманова. Нейтронно-активационное определение натрия, золота, сурьмы и брома в нитриде бора. В сб. "Нейтронно-активационный анализ", "Фан", Ташкент, 1971.
5. Е.М.Лобанов, М.Г.Валиева, М.М.Усманова. Определение примесей в пирографите методом нейтронной активации. В сб. "Нейтронно-активационный анализ", "Фан", Ташкент, 1971.
6. М.Г.Валиева, Е.М.Лобанов, М.М.Усманова. Инструментальное определение золота и сурьмы в чистом пирографите. В сб. "Активационный анализ", "Фан", Ташкент, 1971.
7. Н.А.Крыленкова, М.Г.Валиева, А.А.Кист. Использование адекватных режимов облучения в элементном анализе по конкурирующим реакциям. ВИНТИ, №2192-70 депонирован., 1971.

8. Е.М.Лобанов, М.Г.Валиева, Х.М.Садеков, М.М.Усманова.
Определение примесей в пирографите методом задержанных
совпадений β - и γ -излучений. "Атомная энергия", том 31,
вып. 3, сентябрь, 1971.
9. Н.А.Крыженкова, М.Г.Валиева, Е.М.Лобанов, М.М.Усманова.
Применение метода чередующихся режимов облучения для
нейтронно-активационного определения алюминия, магния и
натрия в пирографите. "Атомная энергия", том 31, № 6, 1971.
Депонир. №551/6359.

Материалы работы докладывались:

1. На конференции молодых ученых ИИФ АН УзССР, 1967 г.
2. На Втором Всесоюзном совещании по активационному анализу
/апрель, 1968 г., г.Ташкент/.
3. На I Всесоюзном совещании по кристаллическому бору
/апрель, 1969 г., г.Тбилиси/.

Бел. 2005

